

Общество с ограниченной ответственностью
«Лаборатория качества и технологии строительства»
испытательная лаборатория
«ЛАКТЕСТ»

Технически компетентная
Аттестат аккредитации №РОСС RU.0001.21CC11

443099 г. Самара, ул. Алексея Толстого, 72, телефон (факс) 310 - 24 - 23,
310 - 24 - 82, e - mail: Laktest@yandex.ru

«Утверждаю»

Руководитель испытательной
лаборатории «ЛАКТЕСТ»
Вайнгартен Г.И.

«  2015 г.

ПРОТОКОЛ № 66 от 02.10.2015 г.

испытания по определению коэффициента теплопроводности кладки из
камня керамического КПТП-II.75/50 ГОСТ 530-2012 производства
АО «Самарский комбинат керамических материалов»

| | |
|------------------------------|---|
| ОРГАНИЗАЦИЯ ЗАКАЗЧИК | АО «Самарский комбинат керамических материалов», г. Самара. Договор №16 от 21.04.2015 г. |
| ИЗДЕЛИЕ | Камень керамический пустотелый теплоизоляционный плюс для улучшенной теплоизоляции стен, тип II КПТП-II.75/50 ГОСТ 530-2012 |
| ОБРАЗЦЫ | 42 шт. Акт отбора образцов от 23.04.2015 г. |
| МЕТОДИКА ИСПЫТАНИЯ | ГОСТ 26254-84, ГОСТ 530-2012 п.7.14 |
| ПРИБОРЫ, ОБОРУДОВАНИЕ | Камера климатическая КК-100805-44, измеритель плотности тепловых потоков ИТП-МГ4.03/40 (Поток) |
| ДАТА ИЗГОТОВЛЕНИЯ | Партия № 1006 от 6.04.2015 г. |
| ДАТА ИСПЫТАНИЯ | с 17 сентября по 02 октября 2015 г. |

РЕЗУЛЬТАТЫ ИСПЫТАНИЯ

| Наименование показателя | Результаты испытания | |
|--|---|---|
| | при массовой доли влаги в кладке 3,3% | при массовой доли влаги в кладке 1,6% |
| Средняя температура воздуха, °С: -наружного -внутреннего | -30±1 20±0,2 | -30±1 20±0,2 |
| Средневзвешенная температура поверхности кладки, °С: -наружной -внутренней | -28,19 19,20 | -28,23 19,51 |
| Средневзвешенный удельный тепловой поток с внутренней поверхности, Вт/м ² | 26,71 | 22,57 |
| Приведенное термическое сопротивление кладки, (м ² · °С) / Вт | 1,774 | 2,115 |
| Толщина стены δ, м | 0,385 | |
| Средняя плотность камня, кг/м ³ | 779 | |
| Коэффициент теплопроводности камня в кладке в сухом состоянии λ ₀ , Вт/(м·°С) | 0,15 | |
| Коэффициент теплопроводности камня в кладке в условиях эксплуатации А λ _A , Вт/(м·°С) | 0,17 | |
| Коэффициент теплопроводности камня в кладке в условиях эксплуатации Б λ _B , Вт/(м·°С) | 0,18 | |

Методика испытаний, результаты испытания и результаты расчета
представлены в Приложении №1 на 7 листах.

Испытание выполнил:

Г.А. Макаров

Приложение №1

к протоколу испытаний № 66 от 02 октября 2015 г.

1 Характеристика образцов:

-камень керамический пустотелый теплоизоляционный плюс для улучшенной теплоизоляции стен, тип II КПТП-II.75/50 ГОСТ 530-2012 размером 255x385x219 мм, марки по прочности М75, класса средней плотности 0,8, марки по морозостойкости F50, пустотность 52,9%, средний вес 16,82 кг, средняя плотность 779 кг/м³.

Материалы, используемые при изготовлении:

-глина - «Алексеевское II» месторождение глинистого сырья, Киямбаевское месторождение каолиновой глины;
-песок - месторождение «Ширяевское» ОАО «Самарский речной порт»;
-опилки - «ДОК» г. Самара, г. Ульяновск.

2 Сведения о фрагменте кладки:

-размер 1530x1605x385 мм (длина-высота-толщина). Размер определен в соответствии с п. 7.14 ГОСТ 530-2012. Кладка выполнена из 30-и камней по 5 камней в 6 рядах на растворе марки 50, плотностью 1800 кг/м³, состава 1,0:0,9:8,0 (портландцемент М400, известь, песок) по объему с осадкой конуса 9 см без заполнения пустот. С двух сторон поверхность кладки затерта штукатурным раствором плотностью 1400 кг/м³ общей толщиной 5 мм. Толщина горизонтальных растворных швов 12 мм.

Площадь кладки- 2,45565 м²:

-площадь зоны пазогребневых соединений- 0,114975 м²;
-площадь зоны горизонтальных швов- 0,11232 м²;
-площадь зоны камня- 2,228355 м².

3 Методика испытаний:

-средняя плотность камня определена в соответствии с ГОСТ 7025-91 «Кирпич и камни керамические и силикатные. Методы определения водопоглощения, плотности и контроля морозостойкости».

-влажность определялась в соответствии с ГОСТ 17177-94 «Материалы и изделия строительные теплоизоляционные. Методы испытаний»;

-коэффициент теплопроводности определен в соответствии с ГОСТ 26254-84 «Здания и сооружения. Методы определения сопротивления теплопередаче ограждающих конструкций» с дополнением п.7.14 ГОСТ 530-2012 «Кирпич и камень керамические. Общие технические условия».

4 Оборудование для испытаний:

-камера климатическая КК 100805-44, аттестованная в соответствии с ГОСТ 26254-84. Камера проходит ежегодную поверку в ФБУ «Самарский ЦСМ», аттестат №1973, действителен до 15.12.2015 г.;

-камера укомплектована измерителем тепловых потоков и температуры ИТП-МГ4.03/40(II) «Поток» производства СКБ «Стройприбор» г. Челябинск. Свидетельство о поверке №17456/15 действительно до 17.08.2016 г.;

-шкаф сушильный ШСП-25-60, аттестат №1974 действителен до 15.12.2015 г.;

-весы лабораторные технические модели «Т-II-500» по ГОСТ 24104-2001, свидетельство о поверке №822427/223971 действительно до 12.12.2015 г.;

-стаканчики типа СВ по ГОСТ 25336-82, эксикатор по ГОСТ 25336-82.

5 Сушка образца:

-сушка фрагмента кладки осуществлялась принудительным способом электронагревательными приборами перед первым этапом испытания в течение 5 суток, перед вторым 3 суток. Доля влаги в кладке измерялась по окончанию испытания.

6 Проведение испытания:

6.1 На внутренней поверхности фрагмента кладки устанавливались датчики температуры и тепловых потоков, на наружной поверхности только датчики температуры. Датчики крепились с помощью теплопроводной кремнийорганической пасты КПТ-8 по ГОСТ 19783-74.

6.2 Датчики устанавливались на поверхности камня, а так же в горизонтальных швах и пазогребневых соединениях кладки.

6.3 Схема размещения датчиков показана на рис. 1.

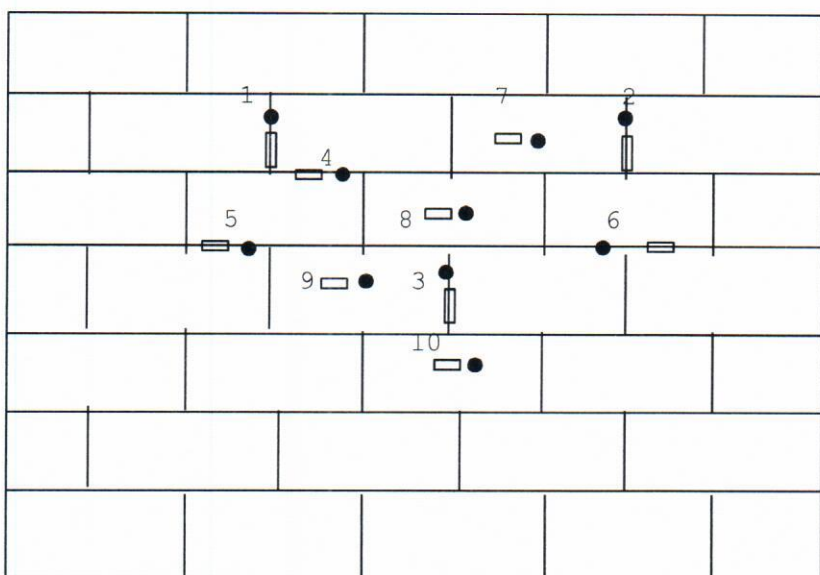


Рис. 1 Схема расположения датчиков на поверхности фрагмента
кладки

(показана внутренняя поверхность)

● Датчик температуры

□ Датчик теплового потока

Датчики температуры на наружной поверхности фрагмента кладки устанавливались в точках, противоположных датчикам на внутренней поверхности.

6.4 Условия, при которых выполнено испытание:

- температура воздушной среды теплого отделения климатической камеры $20 \pm 0,2^\circ\text{C}$ с относительной влажностью $40 \pm 5\%$.;
- температура воздушной среды холодного отделения камеры $-30 \pm 1^\circ\text{C}$ с относительной влажностью $40 \pm 5\%$.

6.5 Испытание проведено в два этапа.

6.6 Первый этап испытания включал в себя кладку фрагмента стены, сушку и проведение испытания с массовой долей влаги в кладке $\omega_1 = 3,3\%$.

6.7 При достижении стационарного режима теплопередачи через фрагмент кладки с интервалом в 2 часа измерены текущие значения температуры на поверхностях кладки и плотность тепловых потоков.

6.8 Результаты первого этапа испытания приведены в таблице №1.

Таблица 1

| Термически однородная зона | № датчиков | Температура на внутренней поверхности t_b , °C | Среднее значение | Температура на наружной поверхности t_h , °C | Среднее значение | Плотность тепловых потоков q_ϕ , Вт/м ² | Среднее значение |
|----------------------------|------------|--|------------------|--|------------------|---|------------------|
| Пазогребневое соединение | 1 | 19,12 | 18,90 | -28,14 | -28,06 | 26,88 | 26,95 |
| | 2 | 18,81 | | -28,01 | | 26,96 | |
| | 3 | 18,77 | | -28,04 | | 27,01 | |
| Горизонтальные швы | 4 | 18,76 | 18,70 | -28,11 | -28,00 | 26,13 | 26,22 |
| | 5 | 18,66 | | -27,91 | | 26,25 | |
| | 6 | 18,68 | | -27,98 | | 26,28 | |
| Камень | 7 | 19,26 | 19,24 | -28,14 | -28,20 | 26,38 | 26,56 |
| | 8 | 19,24 | | -28,25 | | 26,24 | |
| | 9 | 19,21 | | -28,20 | | 26,61 | |
| | 10 | 19,25 | | -28,21 | | 27,01 | |

6.9 На основании данных таблицы №1 по формуле

$$t_{cp}^{cp}_{H(B)} = (\sum t_i F_i) / (\sum F_i)$$

расчитаны средневзвешенные значения температуры на поверхностях кладки и фактическая плотность тепловых потоков:

-температура на внутренней поверхности кладки $t_b = 19,20^\circ\text{C}$;

-температура на наружной поверхности кладки $t_h = -28,19^\circ\text{C}$;

-фактическая плотность тепловых потоков $q_\phi = 26,71 \text{ Вт/м}^2$.

6.10 Разность температур на поверхностях кладки $\Delta t = 47,39^\circ\text{C}$.

6.11 Приведенное термическое сопротивление кладки

$$R^{pp} = \Delta t / q_\phi = 1,774 \text{ м}^2 \cdot \text{°C/Bт.}$$

6.12 Эквивалентный коэффициент теплопроводности
 $\lambda_{экв1} = \delta / R^{pp} = 0,217 \text{ Вт} / (\text{м} \cdot \text{°C})$.

6.13 Второй этап испытания выполнен после сушки кладки при массовой доли влаги в кладке $\omega_2 = 1,6\%$.

6.14 Результаты второго этапа испытания приведены в таблице №2

Таблица 2

| Термически однородная зона | № датчиков | Температура на внутренней поверхности t_b , °C | Среднее значение | Температура на наружной поверхности t_h , °C | Среднее значение | Плотность тепловых потоков q_f , Вт/м² | Среднее значение |
|----------------------------|------------|--|------------------|--|------------------|--|------------------|
| Пазогребневое соединение | 1 | 19,52 | 19,41 | -28,23 | -28,14 | 22,01 | 22,13 |
| | 2 | 19,32 | | -28,06 | | 22,08 | |
| | 3 | 19,39 | | -28,13 | | 22,30 | |
| Горизонтальные швы | 4 | 19,02 | 18,89 | -28,39 | -28,11 | 22,21 | 22,66 |
| | 5 | 18,79 | | -27,64 | | 22,71 | |
| | 6 | 18,86 | | -28,30 | | 23,06 | |
| Камень | 7 | 19,60 | 19,54 | -28,23 | -28,33 | 22,57 | 22,59 |
| | 8 | 19,55 | | -28,41 | | 22,43 | |
| | 9 | 19,43 | | -27,85 | | 22,67 | |
| | 10 | 19,59 | | -28,43 | | 22,69 | |

6.15 На основании данных таблицы №2 по формуле

$$t^{cp}_{H(B)} = (\sum t_i F_i) / (\sum F_i)$$

рассчитаны средневзвешенные значения температуры на поверхностях кладки и фактическая плотность тепловых потоков:

-температура на внутренней поверхности кладки $t_b = 19,51^\circ\text{C}$;

-температура на наружной поверхности кладки $t_h = -28,23^\circ\text{C}$;

-фактическая плотность тепловых потоков $q_f = 22,57 \text{ Вт/м}^2$.

6.16 Разность температур на поверхностях кладки $\Delta t = 47,74^\circ\text{C}$.

6.17 Приведенное термическое сопротивление кладки

$$R^{pp} = \Delta t / q_{\phi} = 2,115 \text{ м}^2 \cdot \text{°C/Bт.}$$

6.18 Эквивалентный коэффициент теплопроводности
 $\lambda_{экв2} = \delta / R^{pp} = 0,182 \text{ Вт/(\text{м} \cdot \text{°C})}$.

7 Расчет коэффициента теплопроводности кладки в сухом состоянии.

$$\Delta \lambda_{экв} = (\lambda_{экв1} - \lambda_{экв2}) / (\omega_1 - \omega_2) = (0,217 - 0,182) / (3,3 - 1,6) = 0,0206 \text{ Вт/(\text{м} \cdot \text{°C})}.$$

$$\lambda_o' = 0,217 - 3,3 \times 0,0206 = 0,15 \text{ Вт/(\text{м} \cdot \text{°C})}.$$

$$\lambda_o'' = 0,182 - 1,6 \times 0,0206 = 0,15 \text{ Вт/(\text{м} \cdot \text{°C})}.$$

$$\lambda_o = 0,15 \text{ Вт/(\text{м} \cdot \text{°C})}.$$

8 График зависимости эквивалентного коэффициента теплопроводности от влажности кладки, построенный по результатам испытания.

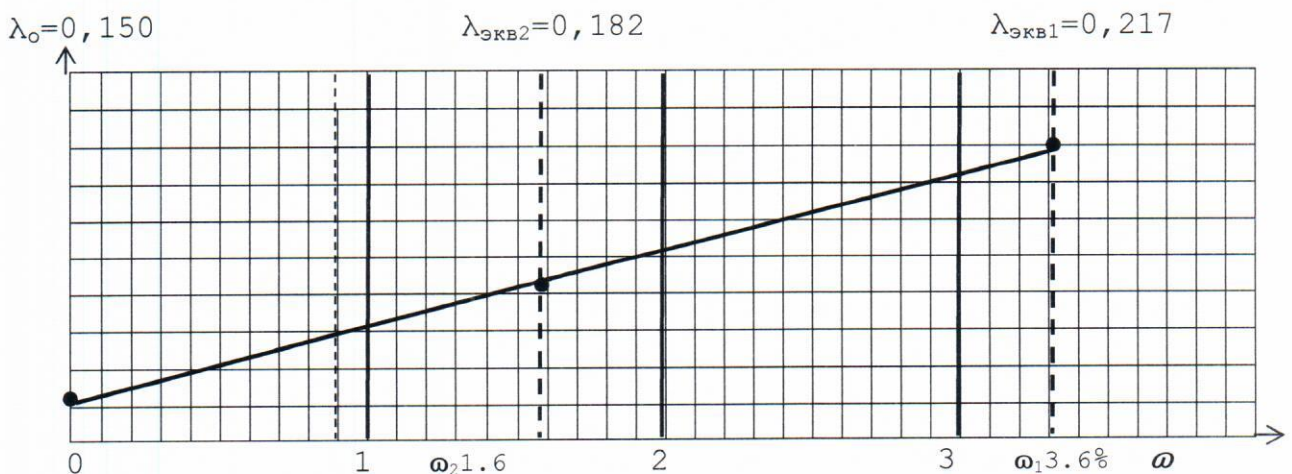


Рис. 2

График зависимости коэффициента теплопроводности от влажности кладки

9 Коэффициент теплопроводности в условиях эксплуатации А (1,0%)
 $\lambda_A = 0,15 + 1,0 \times 0,0206 = 0,17 \text{ Вт/(\text{м} \cdot \text{°C})}$.

10 Коэффициент теплопроводности в условиях эксплуатации Б (1,5%)
 $\lambda_B = 0,15 + 1,5 \times 0,0206 = 0,18 \text{ Вт/(\text{м} \cdot \text{°C})}$.

11 Вывод:

На основании проведенного испытания коэффициент теплопроводности камня керамического пустотелого теплоизоляционного плюс для улучшенной теплоизоляции стен, тип II КПП-II.75/50 ГОСТ 530-2012 производства АО «Самарский комбинат керамических материалов» в кладке в сухом состоянии

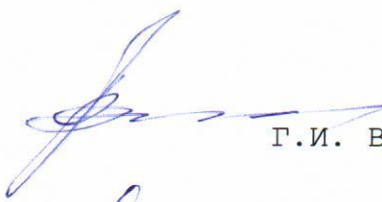
$\lambda_o = 0,15 \text{ Вт}/(\text{м} \cdot {^\circ}\text{C})$;

в условиях эксплуатации А $\lambda_A = 0,17 \text{ Вт}/(\text{м} \cdot {^\circ}\text{C})$;

в условиях эксплуатации Б $\lambda_B = 0,18 \text{ Вт}/(\text{м} \cdot {^\circ}\text{C})$.

Руководитель лаборатории

к.т.н.



Г.И. Вайнгартен

Инженер



Г.А. Макаров